

Poisson Image Editing - Approche de Fourier

```
In [1]: import numpy as np
import matplotlib.pyplot as plt
from numpy.fft import fft2, ifft2, fftshift, ifftshift
```

Ce notebook est constitué de parties :

- La partie 1 et le principe explique la théorie derrière l'algorithme, il n'y a quasiment pas de code (mis à part pour montrer quelques résultats visuels)
- La partie 2 le code implémente ce qui a été vu dans la partie 1

1 - Le principe

Le but de ce projet est d'implémenter un algorithme de retouche d'image appelé **Poisson Image Editing**, et plus particulièrement une version de celui-ci utilisant la Transformée de Fourier Discrète (TFD, ou DFT en anglais).

L'objectif de la retouche ici est de pouvoir incruster une image u dans une autre image I , et ce de façon "naturelle".

Les quatre images ci-dessous illustrent notre objectif :

- celles en haut à gauche est l'image u que l'on souhaite incruster
- celle en haut à droite est l'image I sur laquelle on veut incruster u
- celle en bas à gauche est le résultat obtenu par un simple copier-coller de u dans I .
- celle en bas à droite est le résultat obtenu grâce à l'algorithme Poisson Image Editing.

```
In [20]: # <= Cette cellule n'est là que pour afficher l'objectif, le code n'est pas important. <= >
# Le code utilise ici est expliqué en détails dans la partie 2.
```

```
I = plt.imread('ocean.png')
u = plt.imread('equin.png')
Omega_x, Omega_y = 880, 760

def copierColler(I, u, Omega_x, Omega_y):
    u1 = u[::3]
    v = np.copy(I)
    h, w = u.shape[0], u.shape[1]
    J(Omega_y, Omega_y + h, Omega_x, Omega_x + w) = u
    return v

C = copierColler(I, u, Omega_x, Omega_y)
J = BalancerCouleur(lancementCouleur(I, u, [Omega_x, Omega_y], 0), 1)

fig = plt.figure(figsize=(10, 10))
ax1 = fig.add_subplot(2, 2, 1)
ax2 = fig.add_subplot(2, 2, 2)
ax3 = fig.add_subplot(2, 2, 3)
ax4 = fig.add_subplot(2, 2, 4)

ax1.imshow(u)
ax1.set_title("Image u que l'on veut incruster (agrandie ici pour mieux voir)")
ax1.axis('off')
ax2.imshow(I)
ax2.set_title("Image I dans laquelle on veut incruster")
ax2.axis('off')
ax3.imshow(C)
ax3.set_title("Incrustation par simple copié-collé")
ax3.axis('off')
ax4.imshow(J)
ax4.set_title("Incrustation par Poisson Image Editing")
ax4.axis('off')

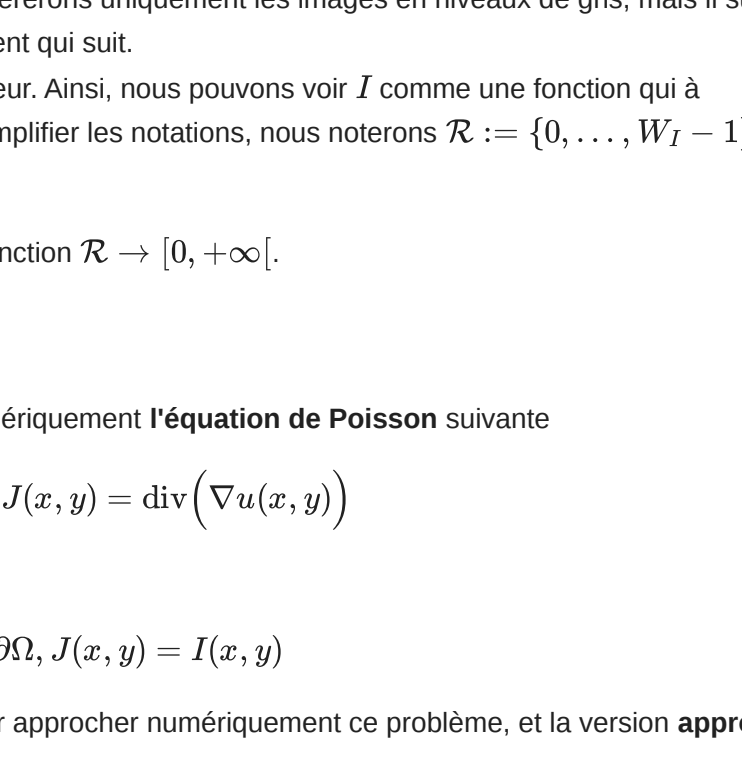
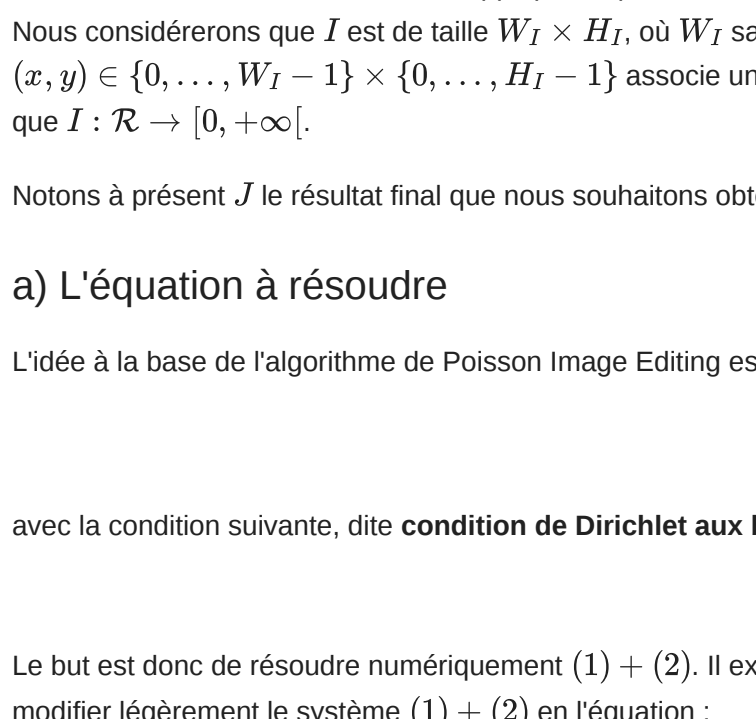
plt.show()
```

Clipping input data to the valid range for imshow with RGB data ([0..1] for floats or [0..255] for integers).

Image u que l'on veut incruster (agrandie ici pour mieux voir)



Incrustation par simple copié-collé



Les données avec lesquelles nous allons travailler sont les suivantes :

- l'image u que nous allons incruster
- l'image I dans laquelle nous allons incruster.
- la zone $\Omega \subseteq \mathbb{I}$ qui est l'endroit dans I où nous allons incruster u . Ω est donc exactement de la même taille que u . Pour simplifier notre travail, nous considérons ici que Ω (et donc) est rectangulaire. Pour préciser Ω , il nous suffit donc simplement de préciser $(I_1; I_2)$, les coordonnées de son coin supérieur gauche.

Les images I et u sont découpées sous la forme de matrices de pixels, où chaque pixel est la donnée d'un nombre pour les images en niveaux de gris, mais à suffit de séparer une image RGB en ses trois canaux de couleurs et d'appliquer séparément à chaque canal le raisonnement qui suit.

Nous considérons une I de taille $W \times H_I$, ou W sa largeur et H_I est sa hauteur. Ainsi, nous pouvons voir I comme une fonction qui à $(x, y) \in \{0, \dots, W-1\} \times \{0, \dots, H_I-1\}$ associe un nombre réel positif. Pour simplifier les notations, nous noterons $\mathcal{R} := \{0, \dots, W-1\} \times \{0, \dots, H_I-1\}$, de sorte que $I: \mathcal{R} \rightarrow [0, +\infty]$.

Notons à présent J le résultat final que nous souhaitons obtenir. J est donc aussi une fonction $\mathcal{R} \rightarrow [0, +\infty]$.

a) L'équation à résoudre

L'idée à la base de l'algorithme de Poisson Image Editing est d'essayer de résoudre numériquement l'équation de Poisson suivante

$$(1) \quad \forall (x, y) \in \Omega, \quad \Delta J(x, y) = \operatorname{div} \left(\nabla u(x, y) \right)$$

avec la condition suivante, dite **condition de Dirichlet** aux bords,

$$(2) \quad \forall (x, y) \in \partial \Omega, \quad \nabla J(x, y) \cdot \vec{n}(x, y)$$

Le but est donc de résoudre numériquement (1) + (2). Il existe plusieurs méthodes pour approcher numériquement ce problème, et la version **approche de Fourier** consiste à modifier légèrement le système (1) + (2) en l'équation :

$$(3) \quad \forall (x, y) \in \mathcal{R}, \quad \Delta J(x, y) = \begin{cases} \operatorname{div} \left(\nabla u(x, y) \right) & \text{si } (x, y) \in \Omega \\ \operatorname{div} \left(\nabla I(x, y) \right) & \text{si } (x, y) \notin \Omega \end{cases}$$

avec la condition suivante, dite **condition de Neumann** aux bords :

$$(\ast_1) \quad \forall (x, y) \in \partial \mathcal{R}, \quad \nabla J(x, y) \cdot \vec{n}(x, y) = 0$$

où $\partial \mathcal{R}$ est l'ensemble des coordonnées à la frontière de \mathcal{R} , et $\vec{n}(x, y)$ est le vecteur unitaire sortant de \mathcal{R} au point du point (x, y) .

Par exemple, pour un pixel (x, y) tout en bas de l'image, $\vec{n}(x, y)$ est un vecteur pointant vers le bas de l'image.

Le but dans la suite sera donc d'essayer d'approcher numériquement une solution de (3) + (4).

b) Un peu de TFD

Pour comprendre la suite de l'algorithme, il faut faire un peu de Transformée de Fourier Discrète.

Pour une fonction $f: \mathcal{R} \rightarrow \mathbb{R}$, sa TDF \hat{f} est donnée par

$$(\ast_1) \quad \forall (a, b) \in \mathcal{R}, \quad \hat{f}(a, b) = \sum_{x=0}^{W-1} \sum_{y=0}^{H_I-1} f(x, y) e^{-2\pi i \left(\frac{x}{W} a + \frac{y}{H_I} b \right)}$$

Pour retrouver f à partir de \hat{f} , il suffit alors d'appliquer la formule d'inversion suivante

$$(\ast_2) \quad \forall (x, y) \in \mathcal{R}, \quad f(x, y) = \frac{1}{W \cdot H_I} \sum_{a=0}^{W-1} \sum_{b=0}^{H_I-1} \hat{f}(a, b) e^{2\pi i \left(\frac{x}{W} a + \frac{y}{H_I} b \right)}$$

En dérivant par rapport à x et par rapport à y l'égalité (\ast_1) , puis en appliquant à nouveau la TFD, on obtient les égalités suivantes

$$(\ast_3) \quad \forall (a, b) \in \mathcal{R}, \quad \frac{\partial^2 J}{\partial x^2}(a, b) = \left(\frac{2\pi i}{W} a \right) \hat{f}(a, b) \quad \text{et} \quad \frac{\partial^2 J}{\partial y^2}(a, b) = \left(\frac{2\pi i}{H_I} b \right) \hat{f}(a, b)$$

Les égalités données par (\ast_3) permettent alors de trouver de manière "simple" le gradient d'une image f à partir de sa TFD \hat{f} puisqu'il suffit alors d'appliquer la TFD inverse au résultat obtenu. A chaque étape de l'algorithme où nous aurons besoin de calculer un gradient, nous pourrions ainsi ou bien utiliser la méthode classique **des différences finies**, ou bien utiliser (\ast_3) , que nous appellerions désormais **méthode du gradient par Fourier**.

c) Retour à l'équation de Poisson

Pour tout $(x, y) \in \mathcal{R}$, en posant $V(x, y) := \begin{cases} \nabla u(x, y) & \text{si } (x, y) \in \Omega \\ \nabla I(x, y) & \text{si } (x, y) \notin \Omega \end{cases}$ l'équation (3) se réécrit

$$(\ast') \quad \forall (x, y) \in \mathcal{R}, \quad \Delta J(x, y) = \operatorname{div} \left(V(x, y) \right)$$

En l'écrivant à l'aide dérivées partielles, et en notant $V = (V^x, V^y)$, l'équation (\ast') se réécrit

$$(\ast'') \quad \forall (x, y) \in \mathcal{R}, \quad \frac{\partial^2 J}{\partial x^2}(x, y) + \frac{\partial^2 J}{\partial y^2}(x, y) = \frac{\partial V^x}{\partial x}(x, y) + \frac{\partial V^y}{\partial y}(x, y)$$

Nous pouvons alors utiliser la méthode (\ast_3) du gradient par Fourier deux fois à gauche de (\ast'') , et une fois à droite de (\ast'') , nous obtenons

$$(\ast_4) \quad \forall (a, b) \in \mathcal{R}, \quad \left[\left(\frac{2\pi i}{W} a \right)^2 + \left(\frac{2\pi i}{H_I} b \right)^2 \right] \hat{J}(a, b) = \left(\frac{2\pi i}{W} a \right) \widehat{V^x}(a, b) + \left(\frac{2\pi i}{H_I} b \right) \widehat{V^y}(a, b)$$

Il ne reste plus qu'à isoler $\hat{J}(a, b)$, en s'assurant de ne jamais diviser par 0, pour trouver

$$(\ast_5) \quad \forall (a, b) \in \mathcal{R}, \quad \hat{J}(a, b) \neq (0, 0), \quad \hat{J}(a, b) = \frac{\left(\frac{2\pi i}{W} a \right) \widehat{V^x}(a, b) + \left(\frac{2\pi i}{H_I} b \right) \widehat{V^y}(a, b)}{\left(\frac{2\pi i}{W} a \right)^2 + \left(\frac{2\pi i}{H_I} b \right)^2}$$

On se rend compte que l'on dispose alors d'un degré de liberté pour la valeur de $\hat{J}(0, 0)$, ce qui est tout simplement la valeur moyenne de J .

Et voilà, nous disposons de \hat{J} en tout point, et donc en prenant la TFD inverse nous obtenons J !

Cependant, n'oublions pas (4), la condition de Neumann aux bords (4).

d) Les conditions de Neumann aux bords : extension de l'image

L'astuce pour vérifier (4) va être de modifier légèrement les données V^x et V^y que nous allons utiliser dans (\ast_5) .

Nous étendons l'image $K: \mathcal{R} \rightarrow [0, +\infty]$ à une image 4 fois plus grande $\tilde{K}: \tilde{\mathcal{R}} \rightarrow [0, +\infty]$ où $\tilde{\mathcal{R}} := [-W+1, W-1] \times [-H_I+1, H_I-1]$

Nous voulons pour cela que \tilde{K} soit symétrique par rapport aux axes des abscisses et des ordonnées, de façon à la rendre aussi périodique. Le code ci-dessous permet de visualiser la transformation que nous voulons faire subir à K .

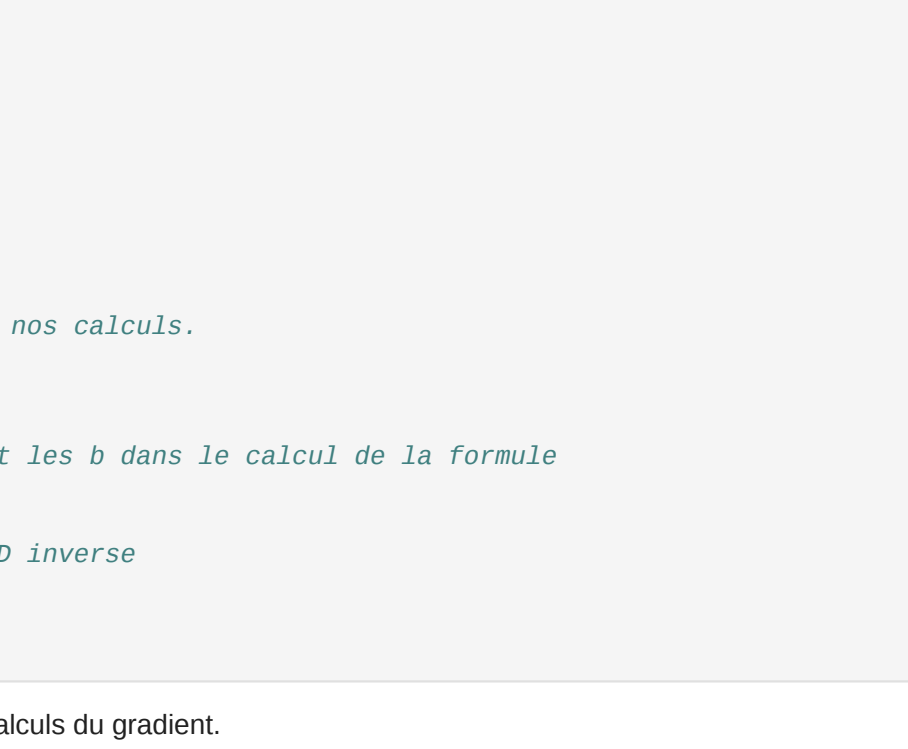
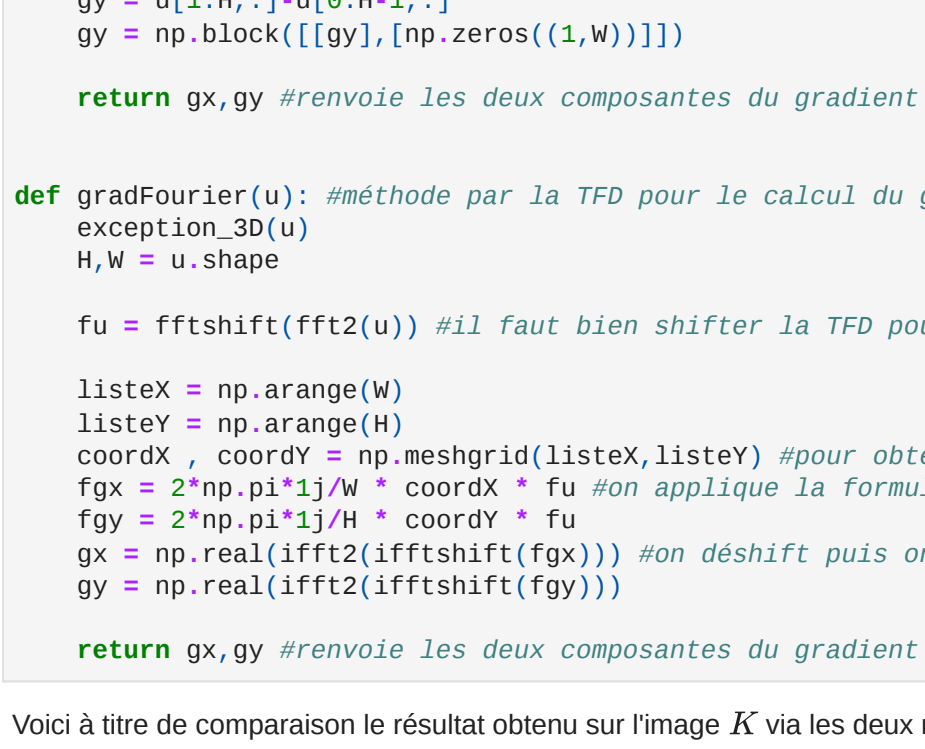
```
In [3]: # <= Cette cellule n'est là que pour visualiser la transformation que l'on fait subir à K, le code n'est pas important.
# Le code utilise ici est expliqué en détails dans la partie 2.
```

```
K = plt.imread('slapsons212g.png')
def extension(u):
    u1 = u[::4]
    u2 = np.zeros((u1.shape[0], u1.shape[1]))
    u3 = u1[:, ::4]
    u4 = np.zeros((u1.shape[0], u1.shape[1]))
    return u1 + u2 + u3 + u4

New_K = extension(K)

fig = plt.figure(figsize=(10, 10))
ax1 = fig.add_subplot(1, 2, 1)
ax2 = fig.add_subplot(1, 2, 2)
```

ax1.imshow(K, cmap='gray')
ax1.set_title("Image K que l'on veut étendre")
ax1.axis('off')
ax2.imshow(New_K, cmap='gray')
ax2.set_title("Image K après extension")
ax2.axis('off')
plt.show()



De cette façon, \tilde{K} est 4 fois plus grande que K , est périodique et symétrique. Ainsi, c'est cette modification que nous voulons faire subir à I pour obtenir \tilde{V} , ou plutôt à l'image dont elle serait le gradient. Il faut alors réaliser que les transformations sur les gradients sont légèrement différentes :

- \tilde{V}^x est bien symétrique par rapport à l'horizontale, mais est antisymétrique par rapport à la verticale $\tilde{V}^x(-x, y) = -\tilde{V}^x(x, y)$
- \tilde{V}^y est bien symétrique par rapport à la verticale, mais est antisymétrique par rapport à l'horizontale $\tilde{V}^y(x, -y) = -\tilde{V}^y(x, y)$

Il suffit alors d'appliquer la formule (\ast_5) à \tilde{K} , et enfin de restreindre \tilde{J} au domaine \mathcal{R} d'origine. De cette façon, la contrainte (4) est elle aussi vérifiée par \tilde{J} à cause des symétries introduites.

On gardera bien à l'esprit que l'image qui nous intéresse se trouve en bas à droite parmi les 4 copies.

2 - Le code

a) Outillage pour l'algorithme

Voici tout d'abord une fonction **exception_3D** qui sert à s'assurer dans une fonction que l'on utilise bien une image en un seul canal (nuance de gris, canal de rouge, canal de vert, canal de bleu, etc, mais pas 3 couleurs à la fois).

```
In [2]: def exception_3D(u):
    if len(u.shape)>2:
        raise Exception("Cette fonction prend en argument des images en niveaux de gris")
```

On charge les 3 images qui nous servent pour ce projet. L'image K est une image en nuances de gris : elle nous permet de visualiser plus facilement la plupart des fonctions grâce celles-ci travaillent bien souvent sur un seul canal à la fois.

Comme indiqué dans la partie 1, la zone d'incrustation Ω au sein de I est spécifiée par les coordonnées de son coin en haut à gauche.

```
In [3]: I = plt.imread('ocean.png')
u = plt.imread('requin.png')
K = plt.imread('slapsons212g.png')
Omega_x=[850, 480]
v = u[::2, ::2]
u = u.shape

Out [3]: (82, 79, 4)
```

Les deux fonctions qui suivent sont là pour permettre l'affichage des différentes images du projet. La première concerne les images en nuances de gris, et la deuxième les images en couleurs RGB.

```
In [5]: def afficheImage3D(u, title="", size=(8,8)):
    exception_3D(u)
    plt.figure(figsize = title)
    plt.imshow(u, cmap='gray')
    plt.title(title)

def afficheImageColor(u, title="", size=(8,8)):
    plt.figure(figsize = size)
    plt.imshow(u)
    plt.title(title)
```

b) Calculs du gradient

Voici les deux façons de définir le gradient dont nous avons parlé dans la partie 1.

- la fonction **gradDiff** utilise la méthode des différences finies, que nous avons vue en cours.
- la fonction **gradFourier** utilise la méthode développée dans la partie 1, à l'aide de la formule (\ast_4) .

```
In [6]: def gradDiff(u): #méthode des différences finies pour le calcul du gradient
    exception_3D(u)
    H,W = u.shape

    gx = u[:,1:W]-u[:,0:W-1]
    gx = np.block([gx, np.zeros((H,1))])

    gy = u[1:H,:]-u[0:H-1,:]
    gy = np.block([[gy], np.zeros((1,W))])

    return gx, gy #renvoie les deux composantes du gradient

def gradFourier(u): #méthode par la TFD pour le calcul du gradient
    exception_3D(u)
    H,W = u.shape

    fu = fftshift(fft2(u)) #il faut bien shiffter la TFD pour effectuer nos calculs.

    listex = np.arange(W)
    listey = np.arange(H)
    coordx , coordy = np.meshgrid(listex, listey) #pour obtenir les a et les b dans le calcul de la formule
    fpx = 2*np.pi*1j*W * coordx # fu non applique la formule (*3)
    fpy = 2*np.pi*1j*H * coordy # fu
    gx = np.real(ifft2(ifftshift(fpx))) #on déshift puis on fait la TFD inverse
    gy = np.real(ifft2(ifftshift(fpy)))

    return gx, gy #renvoie les deux composantes du gradient
```

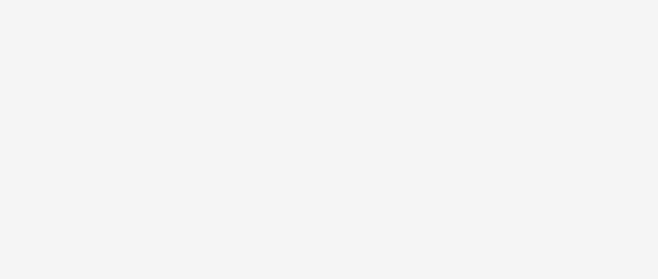
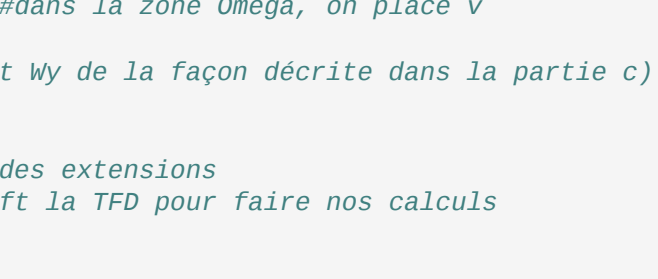
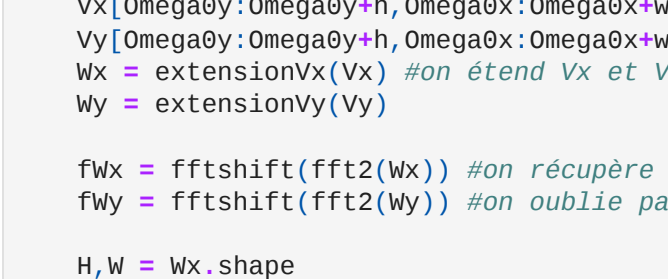
Voici à titre de comparaison le résultat obtenu sur l'image K via les deux méthodes de calculs du gradient.

```
In [7]: # Exemples :
gx_Diff, gy_Diff = gradDiff(K)
gx_Fourier, gy_Fourier = gradFourier(K)

fig = plt.figure(figsize=(20, 10))
ax1 = fig.add_subplot(1, 3, 1)
ax2 = fig.add_subplot(1, 3, 2)
ax3 = fig.add_subplot(1, 3, 3)

ax1.imshow(gx_Diff, cmap='gray')
ax1.set_title("Grad_x calculé avec la méthode des différences finies")
ax1.axis('off')
ax2.imshow(gx_Fourier, cmap='gray')
ax2.set_title("Grad_x calculé à l'aide de la transformée de Fourier")
ax2.axis('off')
ax3.imshow(gx_Diff-gx_Fourier, cmap='gray')
ax3.set_title("Différence entre les deux méthodes")
ax3.axis('off')

plt.show()
```



c) Extension des gradients

Comme nous l'avons dit dans la partie 1, il nous faut étendre les gradients.

Les deux composantes du gradient sont étendues de façon à ce que :

- l'extension \tilde{V}^x de V^x soit symétrique par rapport à l'axe horizontal mais antisymétrique par rapport à l'axe vertical
- l'extension \tilde{V}^y de V^y soit symétrique par rapport à l'axe vertical mais antisymétrique par rapport à l'axe horizontal

```
In [8]: def extensionVx(u): #fonction qui prend une image u et l'étend à la manière de Vx
    exception_3D(u)

    ushape = u[::1, :1] #pour apporter l'antisymétrie selon l'axe verticale
    v = np.block([ushape, u]) #on colle le bloc de gauche au bloc de droite

    vshape = v[:, ::1] #pour apporter la symétrie selon l'axe horizontale
    w = np.block([[vshape], [v]]) #on colle le bloc du haut au bloc du bas
    return w

In [9]: def extensionVy(u): #fonction qui prend une image u et l'étend à la manière de Vy
    exception_3D(u)

    ushape = u[:, ::1] #pour apporter l'antisymétrie selon l'axe horizontal
    w = np.block([ushape, u]) #on colle le bloc du haut au bloc du bas

    vshape = v[:, ::1] #pour apporter la symétrie selon l'axe verticale
    w = np.block([vshape, v]) #on colle le bloc de gauche au bloc de droite
    return w
```

Voici par exemple une matrice M de nombres, à laquelle nous allons faire subir des extensions \tilde{V}^x et \tilde{V}^y .

On remarque que M est bien restée inchangée dans les deux cas, en se trouvant toujours en bas à droite de l'extension.

Les deux extensions \tilde{M}^x et \tilde{M}^y obtenues sont bien 4 fois plus grandes.

Attention encore une fois de ne pas confondre les extensions que l'on fait subir par ces deux fonctions, qui concernent le gradient d'une image : les gradients obtenus par extensions ne sont pas périodiques ! Ce sont les images correspondantes aux gradients que l'on veut périodiques et symétriques !

```
In [10]: M = np.array([[1, 2, 3],
    [4, 5, 6]],
    [-5, -4, -3, 4, 5, 6],
    [-5, -2, -1, 3, 2, 3],
    [-5, -5, -4, -3, 2, 3],
    [-5, -5, -4, -3, 2, 3],
    array([[1, 6, 9, -4, -4, -5, -6],
    [-5, -2, -1, -1, -2, -3],
    [-5, -2, -1, -1, -2, -3],
    [-5, -2, -1, -1, -2, -3],
    [6, 5, 4, 5, 4, 6]])

Out [10]: (array([[1, 2, 3],
    [4, 5, 6]],
    [-5, -4, -3, 4, 5, 6],
    [-5, -2, -1, 3, 2, 3],
    [-5, -5, -4, -3, 2, 3],
    [-5, -5, -4, -3, 2, 3],
    array([[1, 6, 9, -4, -4, -5, -6],
    [-5, -2, -1, -1, -2, -3],
    [-5, -2, -1, -1, -2, -3],
    [-5, -2, -1, -1, -2, -3],
    [6, 5, 4, 5, 4, 6]]))
```

d) L'algorithme de Poisson Image Editing par méthode de Fourier

Voici donc le cœur de l'algorithme : la fonction **poissonFourier**.

Elle prend en entrée les 5 choses suivantes :

- les deux composantes v_x et v_y du gradient v de l'image à incruster u
- l'image J dans laquelle on veut incruster u
- les coordonnées Ω_x et Ω_y du coin supérieur gauche de la zone Ω où incruster u dans I
- un mode de calculer de gradient : 0 correspond au calcul par différence finie, et le 1 (par défaut) correspond au calcul par Fourier

Voici les différentes étapes de l'algorithme :

- à partir de I , on calcul son gradient ∇I que l'on écrit (g_x^I, g_y^I) .
- on construit $V = (V^x, V^y)$ en incrustant $v = (v_x, v_y)$ au sein de ∇I , par simple copié-collé.
- on étend $V = (V^x, V^y)$ à $\tilde{V} = (\tilde{V}^x, \tilde{V}^y)$, si noté (W^x, W^y)
- on calcule la TFD de \tilde{V}^x et de \tilde{V}^y .
- on calcule \tilde{J} grâce à la formule (\ast_5) .
- on fait la TFD inverse de \tilde{J} pour obtenir \tilde{J} , l'extension de J
- on restreint \tilde{J} à \mathcal{R} (le cadran en bas à droite) pour obtenir J , l'image désirée

```
In [11]: def poissonFourier(vx, vy, I, Omega_x, Omega_y, mode=1):
    # on récupère le gradient de I
    if mode == 0: #le mode permet de choisir la méthode de calcul du gradient
        gx, gy = gradDiff(I) #par différences finies
    else:
        gx, gy = gradFourier(I) #par Fourier

    #on incruste v le gradient de u dans le gradient de I pour former V
    h,w,vx.shape
    vx = np.copy(gx)
    vy = np.copy(gy)
    vx[Omega_y, Omega_y+h, Omega_x:Omega_x+w] = vx #dans la zone Omega, on place v
    vy[Omega_y, Omega_y+h, Omega_x:Omega_x+w] = vy
    wx = extensionVx(vx) #on étend vx et vy à wx et wy de la façon décrite dans la partie c)
    wy = extensionVy(vy)

    wx = fftshift(fft2(wx)) #on récupère les TFD des extensions
    wy = fftshift(fft2(wy)) #on oublie pas de shiffter la TFD pour faire nos calculs

    H,W = wx.shape
    listex = np.arange(1, W + 1)
    listey = np.arange(1, H + 1)
    coordx , coordy = np.meshgrid(listex, listey) #on récupère les fameuses coordonnées a et b dans la formule (*5)
    coordx = coordx - (W/2 + 1) # (de toute façon w et H sont toujours des nombres pairs car des multiples de 4)
    coordy = coordy - (H/2 + 1)

    num_a = (2*np.pi*1j*W)*wx*coordx #on sépare le calcul en 4 morceaux pour mieux voir les étapes
    num_b = (2*np.pi*1j*H)*wy*coordy
    num = num_a + num_b #calcul du numérateur

    denom_a = ((2*np.pi*1j*W)*coordx)**2
    denom_b = ((2*np.pi*1j*H)*coordy)**2
    denom = denom_a + denom_b #calcul du dénominateur

    np.seterr(invalid='ignore') # désactiver pour un moment les warnings liés aux divisions par zéro
    rj = np.zeros((H, W), dtype='complex') #rj est la transformée de Fourier du J étendu
    rj = num/denom # division par zéro lorsque coordx=0 et coordy=0. On aura alors rj[h, w]=NaN
    np.seterr(invalid='warn') # Réactiver les warnings
    rj[W/2, W/2] = 0 # Corriger la valeur NaN, avec le degré de liberté, ici on a choisis 0

    SJ = np.real(ifft2(ifftshift(rj))) #SJ est simplement le J étendu
    return SJ[W/2:, W/2:] #on restreint à R
```

```
In [21]: def poissonFourier2(vx, vy, I, Omega_x, Omega_y, mode=1):
    #on récupère le gradient de I
    if mode == 0: #le mode permet de choisir la méthode de calcul du gradient
        gx, gy = gradDiff(I) #par différences finies
    else:
        gx, gy = gradFourier(I) #par Fourier

    #on incruste v le gradient de u dans le gradient de I pour former V
    h,w,vx.shape
    vx = np.copy(gx)
    vy = np.copy(gy)
    vx[Omega_y, Omega_y+h, Omega_x:Omega_x+w] = vx #dans la zone Omega, on place v
    vy[Omega_y, Omega_y+h, Omega_x:Omega_x+w] = vy
    wx = extensionVx(vx) #on étend vx et vy à wx et wy de la façon décrite dans la partie c)
    wy = extensionVy(vy)

    wx = fftshift(fft2(wx)) #on récupère les TFD des extensions
    wy = fftshift(fft2(wy)) #on oublie pas de shiffter la TFD pour faire nos calculs

    H,W = wx.shape
    listex = np.arange(1, W + 1)
    listey = np.arange(1, H + 1)
    coordx , coordy = np.meshgrid(listex, listey) #on récupère les fameuses coordonnées a et b dans la formule (*5)
    coordx = coordx - (W/2 + 1) # (de toute façon w et H sont toujours des nombres pairs car des multiples de 4)
    coordy = coordy - (H/2 + 1)

    num_a = (2*np.pi*1j*W)*wx*coordx #on sépare le calcul en 4 morceaux pour mieux voir les étapes
    num_b = (2*np.pi*1j*H)*wy*coordy
    num = num_a + num_b #calcul du numérateur

    denom_a = ((2*np.pi*1j*W)*coordx)**2
    denom_b = ((2*np.pi*1j*H)*coordy)**2
    denom = denom_a + denom_b #calcul du dénominateur

    np.seterr(invalid='ignore') # désactiver pour un moment les warnings liés aux divisions par zéro
    rj = np.zeros((H, W), dtype='complex') #rj est la transformée de Fourier du J étendu
    rj = num/denom # division par zéro lorsque coordx=0 et coordy=0. On aura alors rj[h, w]=NaN
    np.seterr(invalid='warn') # Réactiver les warnings
    rj[W/2, W/2] = 0 # Corriger la valeur NaN, avec le degré de liberté, ici on a choisis 0

    SJ = np.real(ifft2(ifftshift(rj))) #SJ est simplement le J étendu
    return SJ #on récupère J #on restreint à R
```

e) Résultats et correction des couleurs

On peut à présent tester l'algorithme.

On peut aussi bien le tester avec une image en nuances de gris (comme K), avec la fonction **lancementGris**, ou avec une image couleur RGB, avec la fonction **lancementColor**.

Les deux fonctions prennent en entrée l'image J dans laquelle on incruste, l'image u à incruster, le coin en haut à gauche de Ω , et le mode de calcul des gradients (par défaut 1, qui vaut 1 si on veut le calculer par Fourier, ou 0 par les différences finies. Les fonctions renvoient alors l'image J désirée.

```
In [38]: def lancementGris(i, u, Omega, mode=1):
    exception_3D(i)
    if mode == 0: #on choisit le mode de calcul du gradient
        vx, vy = gradDiff(u)
    else:
        vx, vy = gradFourier(u)

    J = poissonFourier2(vx, vy, I, Omega[0], Omega[1], mode)
    return J

def lancementColor(i, u, Omega, mode=1):
    exception_3D(i)
    if mode == 0: #on choisit le mode de calcul du gradient
        vx, vy = gradDiff(u)
    else:
        vx, vy = gradFourier(u)

    JR = poissonFourier(vx, vy, IR, Omega[0], Omega[1], mode) #on applique l'algorithme à chaque canal
    JG = poissonFourier(vx, vy, IG, Omega[0], Omega[1], mode)
    JB = poissonFourier(vx, vy, IB, Omega[0], Omega[1], mode)

    Jnp.copy(i) #on reconstitue J à partir de ses trois canaux RGB
    J[:, :, 0] = JR
    J[:, :, 1] = JG
    J[:, :, 2] = JB
    return J
```

Clipping input data to the valid range for imshow with RGB data ([0..1] for floats or [0..255] for integers).

(-0.5, 0.519, 5, 1280.5, -0